

Archive of SID

**

** *

*

**

G₁

:

A₂

A

(

)

G₂

I

G₂

I

A

:

Hasan Salaran Granitoids of Saqqez, a Complex of Two Various Granitoid Types in the Sanandaj-Sirjan Metamorphic Belt

S. F. Athari^{*,**}, A. A. Sepahi^{**} and M. Moazzen^{***}

^{*}The Young Researchers Club of Kurdistan

^{**}Department of Geology, Bu Ali Sina University, Hamadan

^{***}Department of Geology, Tabriz University

Abstract

The Hasan Salaran granitoid complex consists of two distinct granitoid types with various genesis. This complex is situated in NW of the Sanandaj-Sirjan metamorphic belt. Major stratigraphic units of the study area and its adjacent areas are Permian limestones, andesitic-basaltic lavas of Jurassic age and shale, sandstone, limestone and andesitic volcanic rocks of Cretaceous period. Two granitoid plutons are distinguished: The first type is G₁ granitoid which is mainly composed of alkali-feldspar granite, syenogranite and alkali-feldspar quartz syenite. This complex displays geochemical characteristics of the ferroan alkalic to ferroan alkali-calcic, peralkaline, A-type and A₂ subtype. The intrusion under study shows mineralogical and geochemical characteristics of post-orogenic or post-collision (within plate) granites. Also the mineralogical and geochemical properties indicate an enriched mantle origin with contribution from the crust in generation of source magma of this intrusion. The second type is G₂ granitoid is composed of monzogranite, granodiorite and tonalite. The above mentioned complex has calc-alkaline, magnesian calcic, metaluminous with I-type geochemical characteristics. The presence of abundant mafic microgranular enclaves points to mingling of mafic and felsic magmas and is responsible for generation of G₂ granitoid magma, which may be formed in a volcanic arc environment.

Keywords: Hasan Salaran granitoid complex, A-type, I-type, Saqqez, Sanandaj-Sirjan metamorphic belt, Zagros

...

G₁ Rb Ba Zn Cu Ni
A Cr Co V Ce Y La Th

G₂

I

()

:

Nb

I

Loisselle & Wones

A

(1979)

alkalic anhydrous anorogenic

(Bonin, 2005)

alkali

()

»

(

)

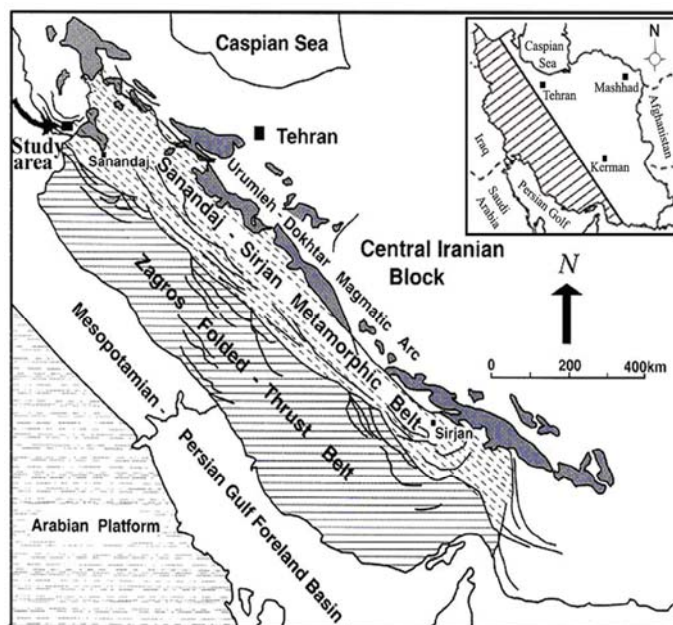
I

«

REE Th U Rb Ga Zr Hf Nb

Ni V Cr Co

Archive of SID



.(Mohajjel & Fergusson, 2003, Alavi, 1994 , 2004)

(XRF)

PW 2400

Newpet

Corel draw Minpet

Ricou, 1994 Berberian & King, 1981)

Mohajjel & Fergusson, 2000 Şengör & Natalin, 1996

.() (Mohajjel et al, 2003 and

...

.()

(Mohajjel et al, 2003 and Alavi,

.1994 and 2004)

Alavi (1994 and 2004) .()

G₂

G₁

)

(

G₁

()

Archive of SID

.()

:

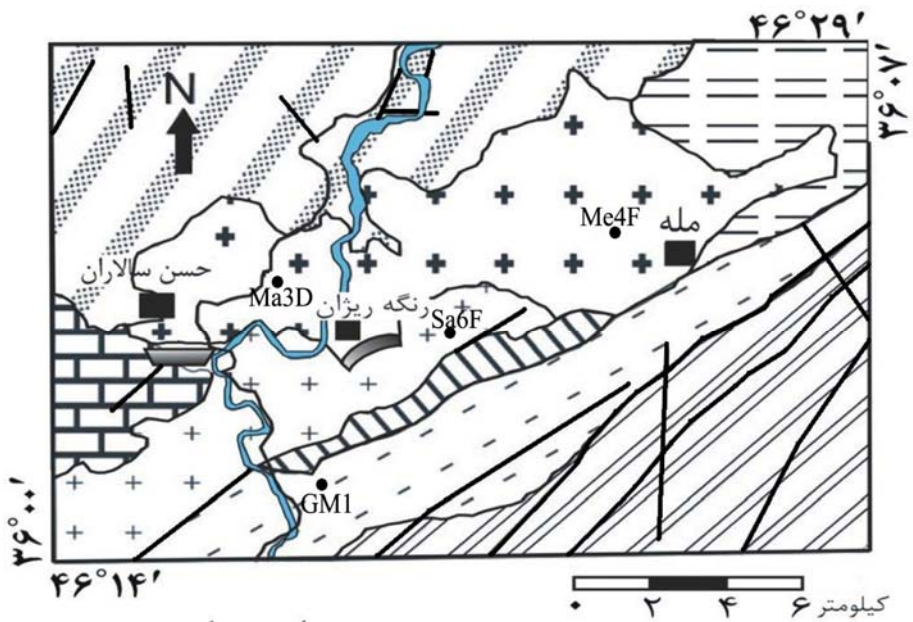
)

(

.()

.()

◦ , ◦ ,
◦ , ◦ ,



راهنما

	G ₂ گرانیتوئید
	G ₁ گرانیتوئید
	گرانیت میلونیت دگرسان شده
	گرانیت میلونیت
	اسلیت و شیل کرتاسه
	دولومیت و آهک کرتاسه
	کلریت شیست و شیل خاکستری کرتاسه
	آهک پرمین

علایم

	ذخیره معدنی
	روستا
	گسل
	جاده
	رودخانه

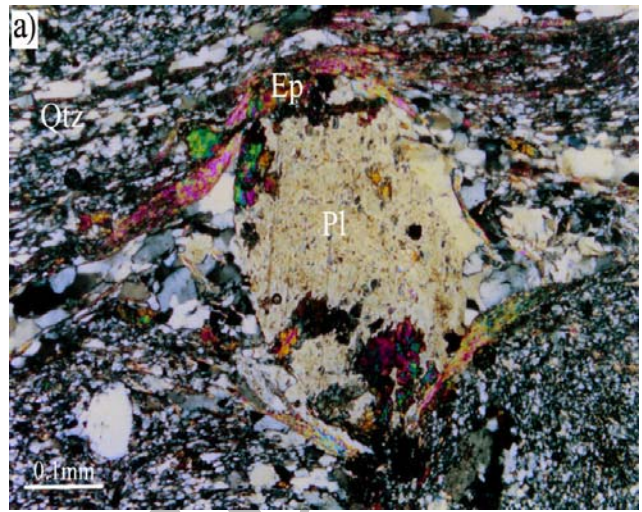
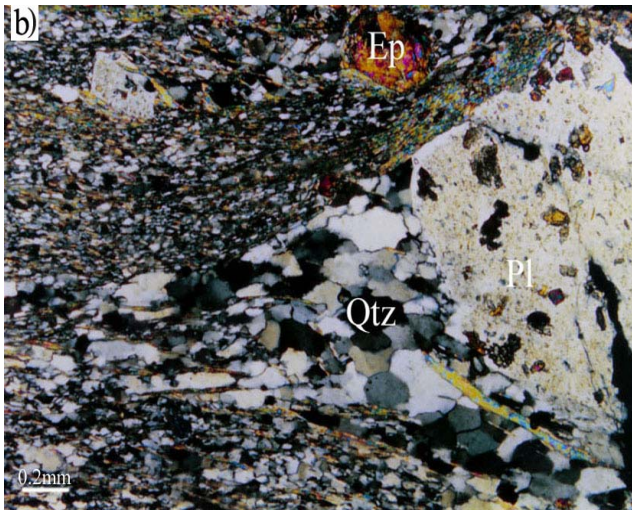
Arch

(a)

()

()

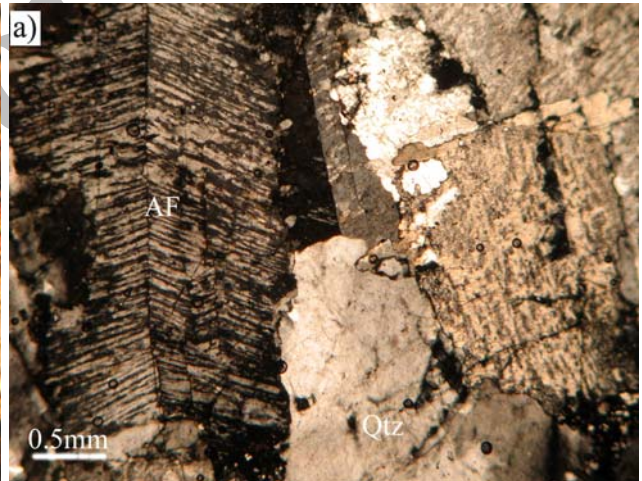
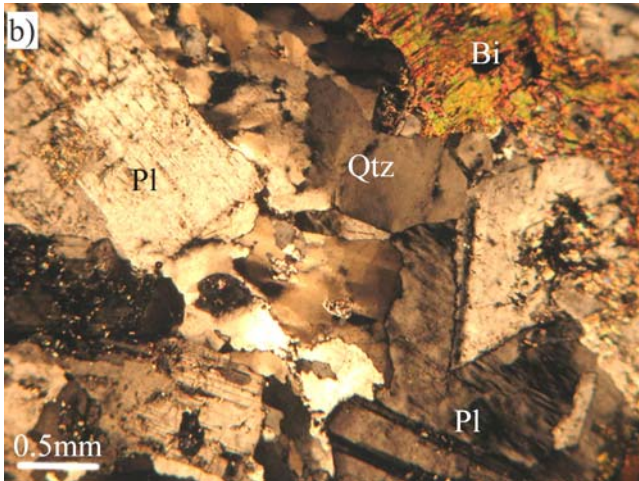
...



(a) (GM₁)

(b) (Or) (Ep) (Qtz)

(Ep) (Qtz) (Pl)



(b) (AF) (Qtz) (Sa6F)

(Ma3D)

(a) (Bi) (Qtz) (Pl)

G_2

()

(b)

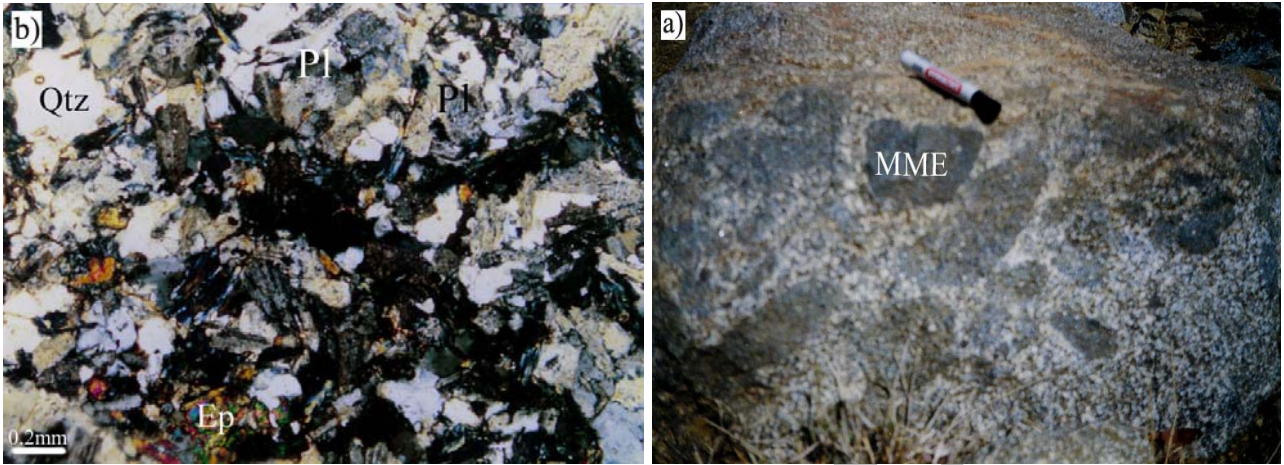
Archive of SID

Archive of SID

G_2

G_2

G_1



(b) G₂ cm (MME) (a)

Me4F

(Ep)

(Qtz)

(Pl)

G₂

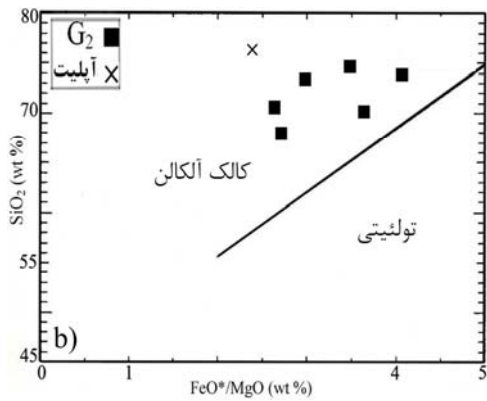
Lacroix (1980)

(a)

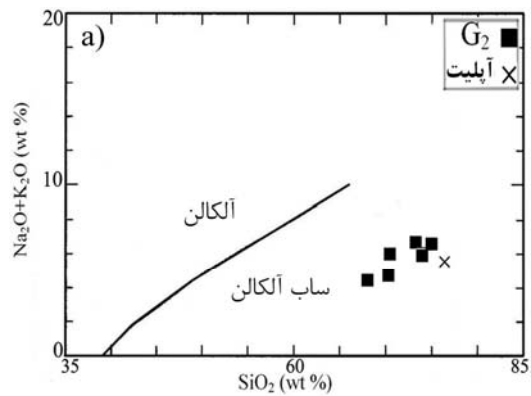
G₁

G₂

(Bateman et al, 1963 and Hurlbut, 1935)



(Irvine & Baragar, 1974)
 (Miashiro, 1974)



(a) (Irvine & Baragar, 1971)
 (b) (Miashiro, 1974)

FeO
 G₁
 G₂
 (CIPW)
 Fe₂O₃
 Fe₂O₃
 Fe₂O₃

(Irvine & Baragar, 1971)

(a)

(Miashiro, 1974) SiO₂ (FeO^{total}/MgO)

G₂ (b)

)

G₁ (Harker, 1909)

P₂O₅ Fe₂O₃ MgO TiO₂ CaO Al₂O₃

(XRF)

G₁

G₂

(CIPW)

FeO

(XRF)

Samples	R4C1	Ma3D	R3H	R4D	Ma3E	H3B	T3I	R4C2	D6A1	D6A2	H5B	D6B1	Sa6F	R4C12
	G ₂ گرانیتوئید						آپلیت	G ₁ گرانیتوئید						
SiO ₂	۷۰/۴۴	۷۰/۳۸	۷۴/۶۸	۶۸/۰۵	۷۳/۵۲	۷۳/۹۹	۷۶/۳۲	۷۴/۸۸	۷۱/۴۱	۷۰/۳۷	۷۶/۲۴	۷۱/۶۶	۷۱/۶۴	۶۸/۹۲
TiO ₂	۰/۴۹	۰/۴۶	۰/۳۲	۰/۵۶	۰/۳۹	۰/۳۹	۰/۱۸	۰/۴۰	۰/۳۸	۰/۴۳	۰/۲۵	۰/۴۸	۰/۵۰	۰/۴۳
Al ₂ O ₃	۱۱/۸۴	۱۱/۸۳	۱۱/۱۵	۱۳/۶۵	۱۱/۵۸	۱۱/۴۶	۱۲/۲۰	۱۰/۰۶	۱۱/۵۲	۱۲/۳۱	۸/۵۶	۱۱/۵۱	۱۰/۸۲	۱۲/۹۸
Fe ₂ O ₃	۴/۸۰	۴/۶۷	۳/۰۲	۴/۹۷	۳/۵۷	۳/۲۴	۱/۳۸	۴/۹۷	۵/۳۲	۵/۷۶	۶/۷۹	۵/۶۴	۶/۱۹	۶/۵۵
MnO	۰/۰۷	۰/۱۰	۰/۰۵	۰/۰۶	۰/۰۵	۰/۰۵	۰/۰۲	۰/۰۹	۰/۱۰	۰/۰۶	۰/۰۷	۰/۰۴	۰/۰۸	۰/۱۳
MgO	۱/۱۹	۱/۵۹	۰/۷۸	۱/۶۶	۱/۰۸	۰/۷۲	۰/۵۲	۰/۰۴	۰/۰۰	۰/۰۰	۰/۰۰	۰/۷۵	۰/۰۹	۰/۱۳
CaO	۳/۶۴	۴/۶۱	۲/۶۳	۴/۶۲	۲/۰۸	۲/۵۶	۲/۸۹	۰/۴۳	۰/۳۸	۰/۳۳	۰/۱۶	۰/۱۵	۱/۰۳	۲/۱۵
Na ₂ O	۳/۱۹	۳/۵۱	۳/۰۹	۳/۷۴	۳/۳۹	۳/۲۰	۴/۹۲	۳/۰۸	۴/۱۴	۴/۴۶	۲/۵۸	۳/۷۸	۳/۸۴	۷/۸۲
K ₂ O	۲/۹۱	۱/۳۵	۳/۳۶	۰/۸۳	۳/۳۶	۳/۰۷	۰/۷۸	۵/۴۵	۵/۵۶	۵/۵۶	۵/۰۶	۵/۳۲	۵/۵۸	۰/۶۴
P ₂ O ₅	۰/۱۳	۰/۱۴	۰/۰۶	۰/۱۵	۰/۰۹	۰/۰۸	۰/۰۴	۰/۰۳	۰/۰۳	۰/۰۴	۰/۰۳	۰/۰۵	۰/۰۷	۰/۰۶
LOI	۱/۳۰	۱/۳۶	۰/۸۶	۱/۷۰	۱/۰۰	۱/۲۵	۰/۷۴	۰/۵۷	۱/۳۷	۰/۶۷	۰/۳۶	۰/۶۲	۰/۱۶	۰/۱۹
Total	۹۹/۹۷	۹۹/۹۸	۹۹/۹۳	۹۹/۹۹	۹۹/۹۹	۹۹/۷۰	۹۹/۹۹	۱۰۰/۰۱	۹۹/۹۹	۱۰۰/۰۲	۹۹/۹۸	۱۰۰/۰۱	۹۹/۹۹	۱۰۰/۰۱
Trace Elements, ppm														
Ba	۵۸۳	۳۲۹	۶۱۴	۲۷۲	۶۱۶	۵۷۱	۲۰۴	۳۵	۱۲	۱۳	-	-	۸۲	-
Ce	-	-	۳۸	-	-	-	۲	۲۸۱	۳۴۳	۳۶۲	۲۳۱	۴۳۱	۲۷۴	۱۷۳۰
Co	۷	۵	۲	۵	۳	۶	۲	۶	-	۲	۵	۸	۶	۷
Cu	۳	۱	۷	۵	-	۵	۱۱	-	۶	۱۰	۵	۸	۶	۱
Nb	۵	۹	۶	۱۱	۹	۳	۵	۷۶	۱۱۹	۱۱۰	۱۱	۱۳۴	۸۴	۱۰۲
U	۲	۷	۳	-	۱	۴	۲	۳	۶	۱۰	۷	۱۵	۸	۱۱
Th	-	۳	۹	۱	۵	۷	۶	۱۸	۱۸	۱۸	۱۸	۳۲	۱۲	۳
Cl	۶۹	۴۵	۳۸	۳۵	۳۴	۵۹	۱۸	۹۵	۳۲	۲۸	۲۰	۲۹	۷۴	۱۹
Pb	۵	۱۰	۲	۹	۷	۹	۵	۳۳	۱۸	۱۵	۱۲	۱۰	۱۷	۱۴
Rb	۴۹	۲۳	۵۷	۲۴	۵۱	۵۹	۱۹	۱۵۵	۱۵۳	۱۴۶	۱۱۶	۱۲۲	۱۱۳	۱۴
Sr	۲۱۵	۲۷۴	۱۶۹	۲۹۵	۱۷۷	۱۶۱	۳۱۳	۲۵	۱۵	۱۵	۱۶	۱۴	۲۷	۳۸
V	۵۵	۵۵	۳۷	۶۲	۴۴	۴۵	۲۵	۳۲	۳۱	۳۰	۲۷	۳۲	۳۵	۳۳
W	-	-	۴	-	-	۳	۱	-	۸	۱۱	۲	۶	۱۷	-
Y	۱۳	۱۲	۱۳	۱۳	۱۴	۱۴	۱۰	۳۴	۴۵	۴۴	۴۱	۵۰	۳۶	۱۶
Zr	۸۱	۸۸	۹۵	۱۴۱	۱۰۱	۸۷	۸۵	۵۰۷	۱۰۹۲	۸۲۷	۹۴۳	۱۱۶۴	۵۹۶	۸۰۸
Zn	۳۴	۳۵	۲۶	۳۰	۲۶	۳۳	۱۹	۱۵۱	۱۳۸	۱۴۳	۱۵۱	۸۱	۱۲۳	۸۲



Na₂O

K₂O

K₂O

Na₂O

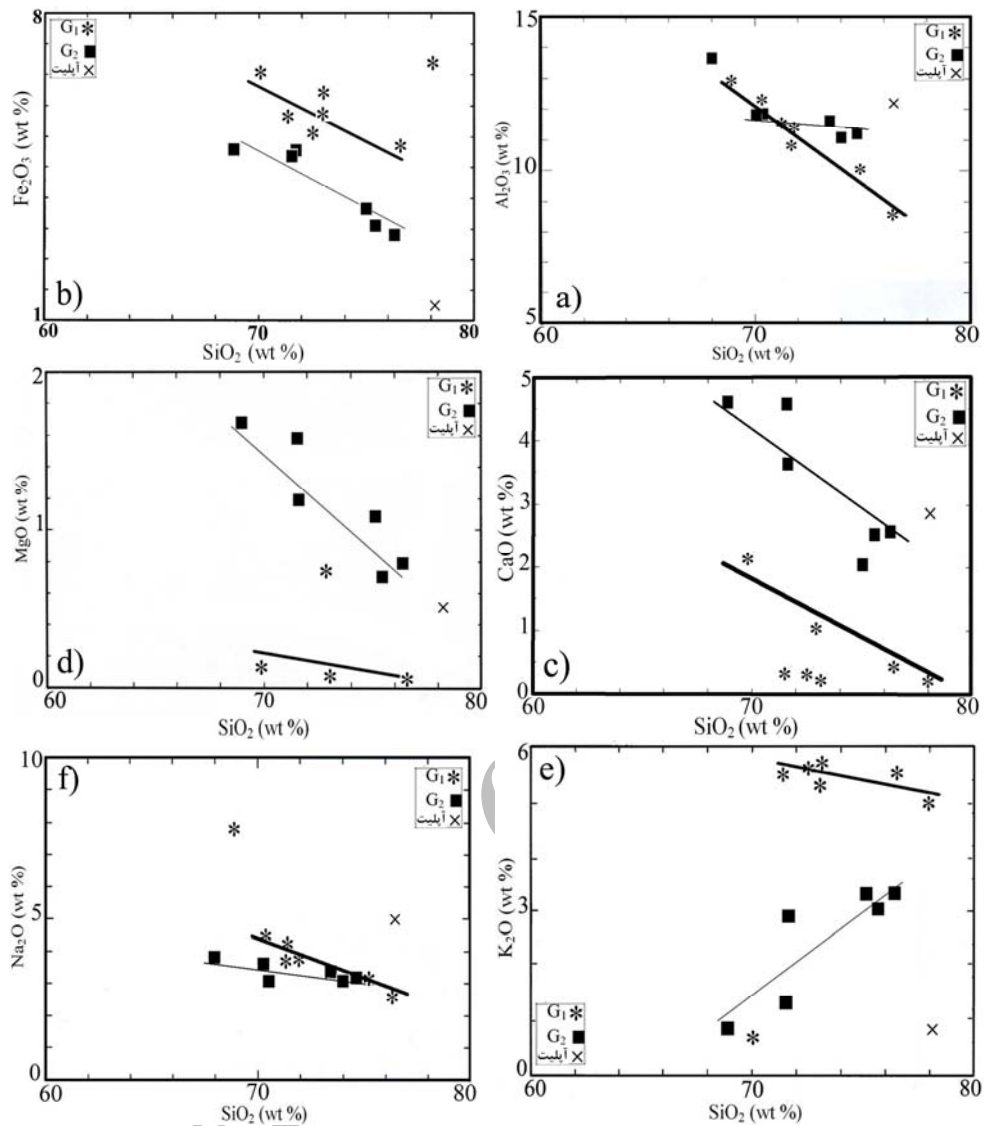
G₂

(Maniar & Piccoli, 1989) A/NK

A/CNK

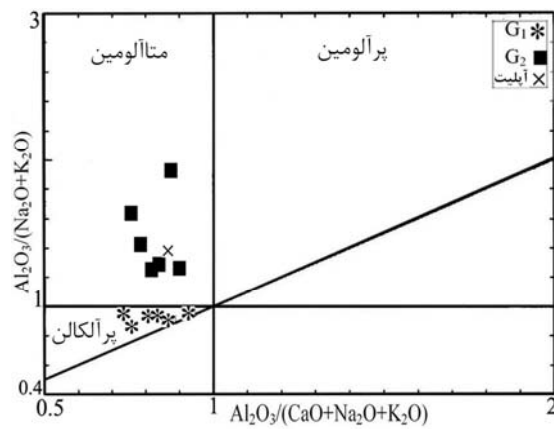
G₁ ()

P₂O₅ Fe₂O₃ MgO TiO₂ CaO Al₂O₃



(Harker, 1909)

G_2 G_1



G_1

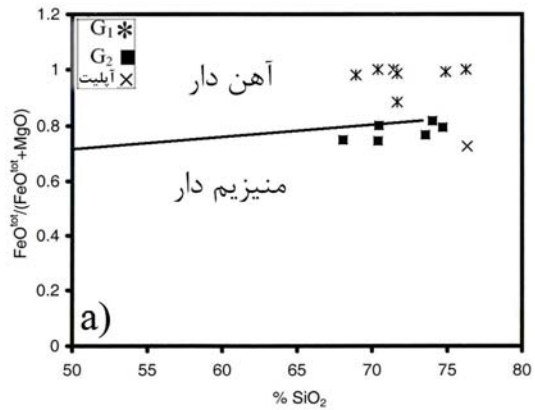
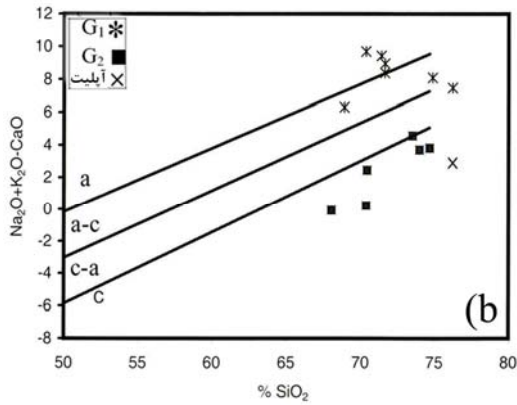
(Maniar & Piccoli, 1989)

A/NK

A/CNK

G_2

...



($K_2O + Na_2O - CaO$) (b) (Frost et al, 2001) SiO_2 $FeO^{tot}/(FeO^{tot} + MgO)$ (a)

G₁ (Frost et al, 2001) MALI SiO_2

G₂

G₂ A G₂

(a)

($K_2O + Na_2O -$ (MALI)

% / Na_2O G₁ SiO_2 CaO)

I V Th Rb Zn

G₂

(ASI) (b)

[Al/(Ca - 1.67P + Na + K)]

> ASI < 1 G₁

Pearce et al (1984) Na + K Al

(a) ASI < 1 G₂

Y Nb Na + K < Al

G₁

G₂ (WPG) G₁

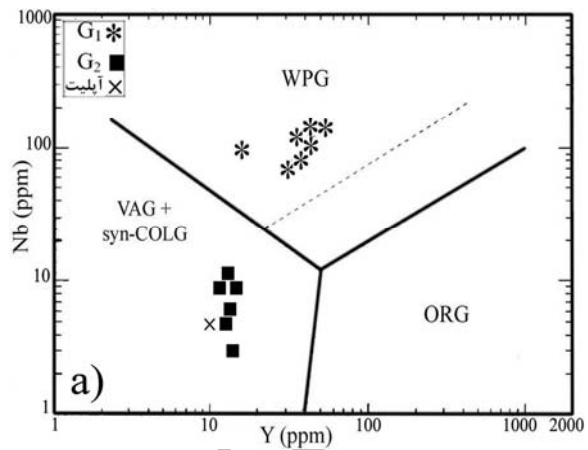
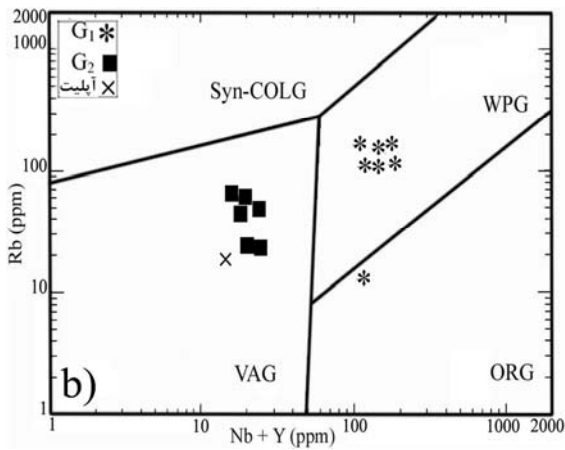
(Syn-COLG)

(VAG)

% / Na_2O

G₂ Th Ce Y Nb Rb Zr

Rb Y + Nb Sr Ca Mg FeO/MgO



G₁ (Pearce et al, 1984)

G₂ (a)

(VAG)

(WPG)

(Pearce et al, 1984) Rb

Y + Nb

(a)

(Syn-COLG)

G₁

G₂

(WPG)

G₁

G₂

(b)

(VAG)

(a)

G₁

(Pearce et al, 1984)

(ORG)

(WPG)

G₁

()

G₂

Nb Ta Th Rb

()

(Weiss, 1983 and Jacobsen &

G₁

Wasserburg, 1978)

G₂

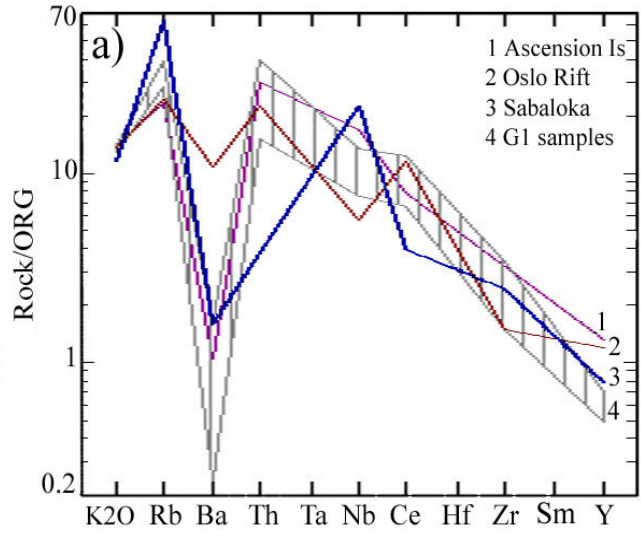
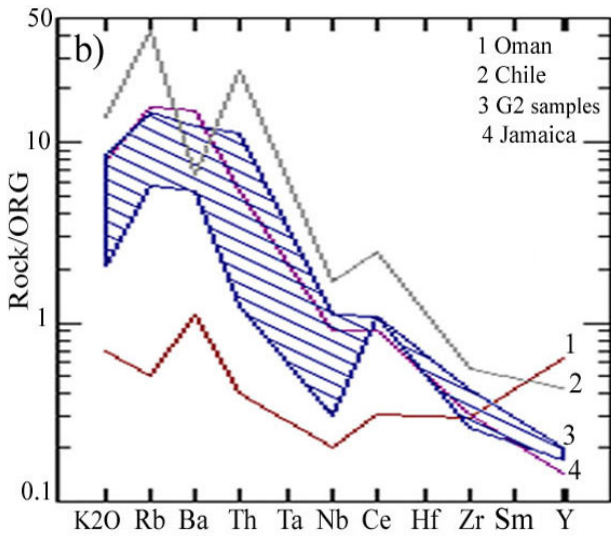
Nb

Th Rb

Sm Ce

Ta

...



((ORG))

G₁ (a) G₁

G₂

G₂ (b) (Pearce et al, 1984)

(Pearce et al, 1984)

(ORG)

(b)

(Pearce et

(ORG)

Ce Th Ba Rb K

.al, 1984)

Yb Y Zr Hf Nb Ta

(Harris et al, 1983)

Yb Y

Rb Yb

Ba

G₁

R₂

R₁

(Batchelor & Bowden, 1985)

(post orogenic)

G₁

G₂

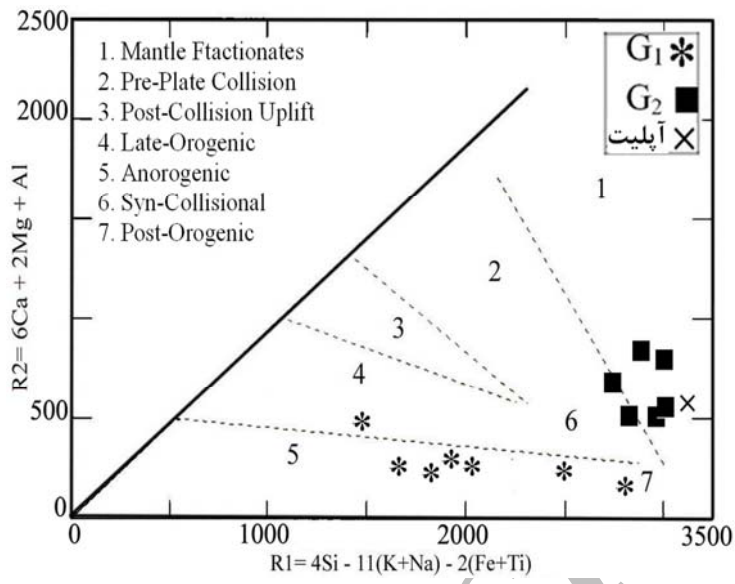
(mantle fractionated)

()

G₂

A

Eby (1992)



(Batchelor & Bowden, 1985) R_2 R_1

(post orogenic) G_1

(G_2 mantle fractionated)

A A₂ () A₁

I (

Whalen et al (1987) A₂ G_1

A

F Cl

Pearce et al,

Creaser et al (1991) .(Förster et al, 1997 and Harris et al, 1986 1984)

) (

A I (

(Barbarin, 1990 , H_{LO})

A

Turner et al Eby (1990 and 1992) Sylvester, 1989)

(1992) (Wu et al, 2002 and Bonin et al, 1998 Jung et al, 1998

A

A Collins et al (1982) .

Whalen et al (1996) .

G₁

A

G₁

A

G₁

.(Jung et al, 1998)

A

.(Wu et al, 2002)

A

(Köksal et

al, 2004)

G₁

()

)

(

G₁

G₂

G₁

+ + + + +

A₂

A

G₂

I
()

G₂

- 9- M., Alavi, Tectonics of Zagros orogenic belt of Iran: New data and interpretation, Tectonophysics, 229, pp. 211-238, (1994).
- 10- M., Alavi, Regional stratigraphy of the Zagros fold-thrust belt of Iran and its proforeland evolution, American Journal of Science, 304, pp. 1-20, (2004).
- 11- B. Barbarin, Granitoids: mineral petrogenetic classifications in relation to origin and tectonic setting, Geol J, 25, pp. 227-238, (1990).
- 12- R. A. Batchelor, & P., Bowden, Petrogenetic interpretation of granitoid rocks series using multicationic parameters, Chem. Geol, 48, pp. 43-55, (1985).
- 13- P. C., Bateman, L. D., Clark, N. K., Huber, J. G.

...

- 115-134, (1990).
- 21- G. N., Eby, Chemical subdivision of the A- type granitoids: petrogenetic and tectonic implications, *20(7)*, 641-644, (1992).
- 22- B. R., Frost, G. G., Barnes, W. J., Collins, R. J., Arculus, D. J. Ellis, & C. D., Frost, "A geological classification for granitic rocks, *J. Petrol*, 42, pp. 2033-2048, (2001).
- 23- H. J., Förster, G., Tischendorf, and R. B., Trumbell, An evaluation of the Rb vs. (Y + Nb) discrimination diagram to infer tectonic setting of silicic igneous rocks, *Lithos*, 40, pp. 261-293, (1997).
- 24- A., Harker, The natural history of igneous rocks, Methuen, London, 384p, (1909).
- 25- N. B. W., Harris, H. J. Duyverman, & D. C., Almand, The trace element and isotope geochemistry of the Sabaloka igneous complex, Sudan, *J. Geol. Soc. Lond*, 140, pp. 245-256, (1983).
- 26- N. B. W., Harris, J. A. Pearce, & A. G., Tindle, Geochemical characteristics of collision-zone magmatism: In: Coward, M. P. & Ries, A. C. (eds) *Collision Tectonics. Geol Soc Spec Publ Lond*, 19, pp. 67-81, (1986).
- 27- C. S., Hurlbut, Dark inclusions in a tonalite of southern California, *Am. Mineral.*, 20, pp. 609-630, (1935).
- 28- T. N. Irvine, & W. R. A., Baragar, Guide to the Moore, & C. D., Rinehart, The Sierra Nevada Batholite- a synthesis of recent work across the central part, *U. S. Geol. Surv., Prof. Pap.*, p.414, D₁-D₄₆, (1963).
- 14- M. Berberian, & G. C., King, Towards a palaeogeographical and tectonics evolution of Iran, *Can. J. of Earth Sci*, 18, 210-265, (1981).
- 15- B., Bonin, A., Azzouni-Sekkal. F. Bussy, & S., Ferrag, Alkali-calcic and alkaline post-orogenic (PO) granite magmatism: petrological constraints and geodynamic setting, *Lithos*, 45, pp. 45-70, (1998).
- 16- B., Bonin, A-type granites: definitions, facts and speculations, *Goldschmidt Conference Abstracts, Geochimica et Cosmochimica Acta*, 69(10), A79, (2005).
- 17- B. W. Chappell, & A. J. R., White, Two contrasting granite types, *Pacific Geol.* 8, pp. 173-174, (1974).
- 18- W. J., Collins, S. D., Beams, A. J. R. White, & B. W., Chappell, Nature and origin of A-type granites with particular reference to southeastern Australia, *Cont Mineral Petrol*, 80, pp. 115-134, (1982).
- 19- R. A., Creaser, R. C. price, & R.J., Wormald, "A-type granites revisited: assessment of a residual-source model", *Geology* 19, pp. 63-166, (1991).
- 20- G. N., Eby, "The A-type granitoids: a review of their occurrence and chemical characteristics and speculations on their petrogenesis", *Lithos*, 26, pp.

- and active continental margins, *Am. J. Science*, Vol. 274, pp. 321-355, (1974).
- 36- M. Mohajjel, & C. L., Fergusson, Dextral transpression in late Cretaceous continental collision, Sanandaj- Sirjan Zone, Western Iran, *J. of Struct. Geol*, 22, pp. 1125-1139, (2000).
- 37- M. Mohajjel, & C. L. Fergusson, & M. R., Sahandi, Cretaceous-Tertiary convergence and continental collision, Sanandaj- Sirjan Zone, Western Iran, *J. Asian Earth Sci*, 21, pp. 397-412, (2003).
- 38- J. A., Pearce, N. B. Harris, & A. G., Tindle, Trace element discrimination diagrams for the tectonic interpretation of granitic rocks, *J. Petrol*, 25, pp. 956-983, (1984).
- 39- L. E., Ricou, Tethys reconstructed: plates, continental fragments and their boundaries since 260 Ma from central America to South-eastern Asia, *Geodinamica Acta (Paris)*, 7 (4), pp.169-218, (1994).
- 40- A. M. C. Şengör, & B. A., Natalin, Paleotectonics of Asia: fragments of a synthesis. In: Yin, A. & Harrison, T. M. (eds.): *The Tectonic Evolution of Asia*, Cambridge University Press, Cambridge, pp. 486-640, (1996).
- 41- P. J., Sylvester, Post-collisional alkaline granites, *J. Geol*, 97, pp. 261-280, (1989).
- 42- S. P., Turner, M. Sandford, & J., Foden, Some geodynamics and compositional constrains chemical classification of the common volcanics, *Can. J. Earth Sci*, 8, pp. 523-545, (1971).
- 29- S. B. Jacobsen, & G. J., Wasserburg, Nd and Sr isotopic study of the Permian Oslo Rift, 4th Int. Conf. Geochron. Cosmochron. Isotopic Geol. u. s Geol. Surv. Open- File Rept, 78-701, pp.194-196, (1987).
- 30- Jung, S., Mezger, K. & Hoernes, S., Petrology and geochemistry of syn- to post-collisional metaluminous A-type granites- a major and trace element and Nd-Sr-Pb- O- isotope study from the Proterozoic Damara Belt, Namibia, *Lithos*, 45, pp. 147-175, (1998).
- 31- S., Köksal, R. L., Romer, M. C., Gönçüoğlu, R. L. Romer, & F., Toskoy-Köksal, Timing of post-collisional H-type to A-type granitic magmatism: U-Pb titanite ages from the Alpine Central Anatolian granitoids (Turkey). – *Int J. Earth Sci. (Geol Rundsch)*. 93: 974-989, (2004).
- 32- A., Lacroix, Sur les enclaves acides des roches volcaniques d' Auvergne, *Bull. Serv Carte Géol. Fr.*, 2, pp. 25-56, (1980).
- 33- M. C. Loisselle, and D. R., Wones, *Geological Society of America Abstract with Programms*, 11, p. 468, (1979).
- 34- P. D. Maniar, & P. M., Piccoli, Tectonic discrimination of granitoids, *Geol Soc Am Bull*, 101, pp. 635-643, (1989).
- 35- A., Miashiro, Volcanic rock series in island arcs

...

- Robert, & C., Gariety, Geochemical and isotopic (O, Nd, Pb and Sr) constraints on A-type granite petrogenesis based on the Topsails igneous suite, Newfoundland Appalachians, *J. Petrol*, 37, pp. 1463-1489, (1996).
- 46- F. Y., Wu, D. Y., Sun, H. M., Li, B. M. John, & S., Wilde, A- type granites in northeastern China: age and geochemical constraints on their petrogenesis, *Chemical Geology*, 187(1-2), pp. 143-173, (2002).
- 'postorogenic' magmatism, *Geology*, 20, pp. 931-934, (1992).
- 43- D., Weiss, Pb isotopes in Asension Island rocks: oceanic origin for the gabbroic to granitic plutonic xenoliths, *Earth. Planet. Sci. Lett*, 62, pp. 273-282, (1983).
- 44- J. B., Whalen, K. L. Currie, & W., Chappell, A-type granites: geochemical characteristics, discrimination and petrogenesis, *Contrib Mineral Petrol*, 95, pp. 407-419, (1987).
- 45- J. B., Whalen, G. A., Jenner, F. J., Longstaffe, F.

Archive of SID